

Ústav chemie Přírodovědecké fakulty Masarykovy univerzity

C2200 Chemická syntéza – praktikum
Spektrální charakteristika produktů

Jaromír Literák



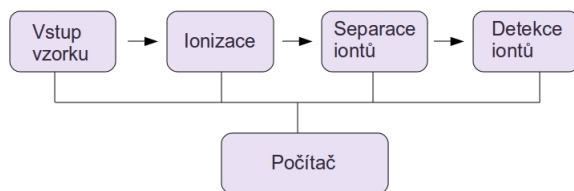
20. dubna 2011

Obsah

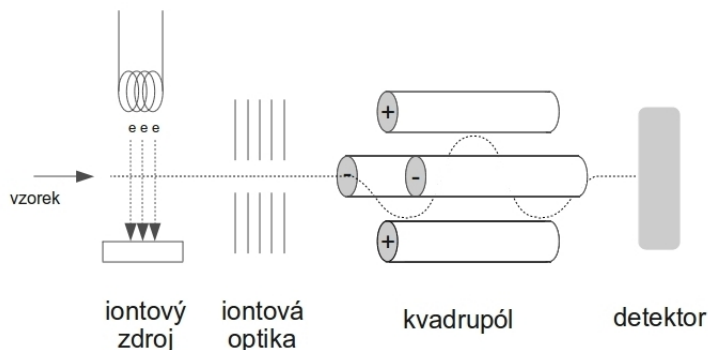
| | |
|---|-----------|
| Obsah | 2 |
| Hmotnostní spektroskopie | 3 |
| Stanovení sumárního vzorce | 5 |
| Základní pravidla fragmentačních reakcí | 7 |
| Interpretace hmotnostních spekter s elektronovou ionizací | 9 |
| Složení nenabíťých fragmentů molekul při EI | 9 |
| Složení iontů molekul v MS s EI | 13 |
| Bromethan | 17 |
| Benzofenon-oxim | 19 |
| 3-Nitroacetofenon | 21 |
| 3-Aminoacetofenon | 23 |
| 1-(3-Nitrofenyl)ethanol | 25 |
| Ethylenacetal ethyl-3-oxobutanoátu | 27 |
| 1,2-Difenylbutan-1,2-diol | 29 |
| 4-Methyl-2-(2-nitrofenylazo)fenol | 31 |
| 4-Fenylazo-1-naftol | 32 |
| Ferrocen | 33 |
| Trimethyl-boritan | 34 |

Hmotnostní spektroskopie (MS)

Hmotnostní spektroskopie využívá řadu fyzikálních metod ke stanovení hmotnosti nabitéých částic, kterými jsou mohou být atomy, molekuly nebo fragmenty molekul. Všechny tyto metody jsou založeny na převedení analyzovaných částic do plynného stavu, jejich ionizaci a na separaci vzniklých iontů pohybem v magnetickém, elektrickém poli nebo v kombinaci těchto polí a registraci iontů v detektoru. Separace iontů závisí vedle hmotnosti také na náboji částice, v hmotnostní spektroskopii se proto místo hmotnosti m užívá poměr hmotnosti k náboji částice m/z , protože nabité částice je neodlišitelná od částice s dvojnásobnou hmotností nesoucí dvojnásobný náboj. Uspořádání hmotnostního spektrometru ukazuje následující schéma.



V rutinní analýze organických látek se nejčastěji používají relativně levné a jednoduché hmotnostní spektrometry s elektronovou ionizací (EI, electron ionization) a kvadrupolovým hmotnostním filtrem.

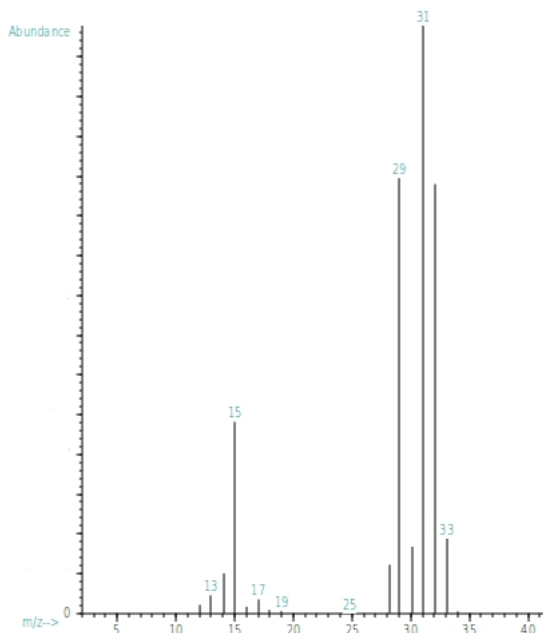


Vstup látky do hmotnostního spektrometru látky může například představovat výstup z kolony plynového chromatografu, látka může být také přímo zplyněna za vysoké teploty ve speciálním zařízení a analyzována bez předchozí chromatografické separace. Analyzovaná látka v plynném skupenství je vnášena do iontového zdroje přístroje, kde dochází k ionizaci účinkem proudu elektronů urychlených potenciálovým rozdílem, nejčastěji se jedná o 70 V. Průlet urychlených elektronů kolem molekul vyvolá nejčastěji vytržení jednoho elektronu z molekuly a vznik kation radikálu. Vzniklé ionty jsou z iontového zdroje vypuzeny elektrostatickou silou a jejich proud po fokusaci iontovou optikou vstupuje do kvadrupolového hmotnostního filtru.

Kvadrupól je soustava čtyř rovnoběžných kovových tyčí o kruhovém nebo hyperbolickém průřezu, které jsou situovány v rozích čtverce. Protilehlé tyče kvadrupólu jsou vodivě spojeny a nabity na stejný potenciál, současně je také potenciál dvou páru tyčí modulován radiofrekvenčním napětím o proměnlivé frekvenci. Ion, který vlétl do kvadrupólu, se díky působení elektrostatických sil začne pohybovat po zakřivené trajektorii. Při dané frekvenci a napětí vloženém na tyče kvadrupólu může projít celým hmotnostním filtrem pouze ion o určitému poměru m/z , zbytek iontů o odlišném poměru m/z se začne pohybovat po nestabilních trajektoriích a nárazem na stěny filtru zanikne. Ionty prošlé hmotnostním filtrem jsou registrovány v detektoru, kterým je často elektronásobič. Napětí a modulující frekvence jsou řízeny elektronicky, postupnou změnou těchto parametrů a současným záznamem odezvy detektoru můžeme získat hmotnostní spektrum, tedy závislost četnosti prošlých iontů na poměru jejich m/z .

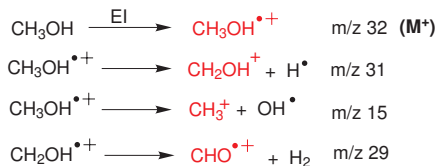
Prostory, ve kterých se pohybují ionty, musí být evakuovány na velmi vysoké vakuum (typicky 10^{-6} torr), aby se zabránilo nežádoucím kolizím iontů s molekulami plynu.

Energie elektronů užívaných při elektronové ionizaci (70 eV) výrazně převyšuje vazebné energie a ionizační energie molekul, není proto překvapující, že vznikající ionty s přebytkem vnitřní energie jsou nestabilní a s velkou pravděpodobností se štěpí na lehčí molekuly. Díky vysokému vakuu nejsou pravděpodobné bimolekulární reakce iontů. Následující obrázek zachycuje hmotnostní spektrum methanolu s elektronovou ionizací.



Ion s m/z 32 je tzv. *molekulární iont* (M^+), jeho hmotnost odpovídá hmotnosti molekuly složené z izotopů s nejvyšším zastoupením. Nejintenzívnejším iontem

v hmotnostním spektru je iont s m/z 31, tento iont se označuje jako *základní pík*. Fragmentační reakce probíhající po elektronové ionizaci methanolu zachycují následující rovnice:



Molekulový ion nemusí být ve spektru vůbec patrný (např. u ethylenacetalu ethyl-3-oxobutanoátu nebo 1,2-difenylbutan-1,2-diolu se s tímto setkáme). Obecně platí, že intenzita M^+ klesá s rostoucí molekulovou hmotností. Látky obsahující v molekule dlouhé lineární řetězce vykazují vyšší intenzitu M^+ ve srovnání s více větvenými isomery. Na hmotnost molekuly v případě chybějícího iontu M^+ mohou ukazovat fragmenty o hmotnostech M-1 (ztráta H^\bullet), M-15 (ztráta methylu CH_3^\bullet), M-18 (ztráta vody H_2O). Ztráta hmoty v rozmezí 19–25 je nepravděpodobná, mimo eliminace F. (M-19) a HF (M-20).

Fragmentace iontů není náhodná, jako všechny chemické reakce je řízena pravidly, které lze pozorovat u klasických reakcí molekul. Hmotnostní spektrum může pomoci při identifikaci neznámé látky několika způsoby. Z produktů fragmentace lze usuzovat na přítomnost určitých funkčních skupin v molekule nebo strukturních motivů. Samotné fragmentační reakce molekuly vyvolané elektronovou ionizací jsou monomolekulární procesy, jejichž průběh závisí relativně málo na experimentálních podmínkách. EI spektra jsou proto velmi dobře reprodukovatelná, existují obsáhlé knihovny EI hmotnostních spekter získaných při ionizační energii 70 eV, které lze prohledávat a srovnávat s naměřeným spektrem. Existuje celá řada ionizačních technik, které jsou šetrnější a nevedou k rozsáhlé fragmentaci iontů, neposkytují však stejně dobře porovnatelná a reprodukovatelná spektra.

Stanovení sumárního vzorce

Pomocí hmotnostní spektroskopie lze stanovit sumární vzorec analyzované sloučeniny. Můžeme využít skutečnosti, že hmotnosti nuklidů nejsou přesně celými násobky hmotnostní jednotky. Kombinace prvků (sumární vzorce) se proto liší motnostní a přesně stanověná hmotnost zase zpětně ukáže sumární vzorec sloučeniny. Jako příklad mohou sloužit molekuly O_2 , N_2H_2 a CH_3OH , které mají velmi podobné molární hmotnosti.

$$\begin{array}{ll} \text{O}_2 & 2 \times 15,9949 = 31,9898 \\ \text{N}_2\text{H}_2 & 2 \times 14,0031 + 4 \times 1,00783 = 32,0375 \\ \text{CH}_3\text{OH} & 12,0000 + 4 \times 1,00783 + 15,9949 = 32,0262 \end{array}$$

Pro rozlišení mezi těmito molekulami bychom museli stanovit m/z s přesností na nejméně tři desetinná místa. Toho lze dosáhnout pouze s užitím vysokorozlišujících

hmotnostních spektrometrů. Kvadrupolový hmotnostní spektrometer je však užíván k měření hmotnostních spekter s nízkým rozlišením, například ve spektru methanolu získaném na tomto přístroji se setkáme s hmotnostmi zaokrouhlenými na celá čísla.

Skutečnost, že naprostá většina prvků tvorících organické sloučeniny obsahuje vedle majoritního izotopu ještě další těžší izotopy, může být využita ke stanovení složení menších molekul. Následující tabulka zachycuje izotopické složení prvků podílejících se nejčastěji na stavbě organických sloučenin.

| Prvek | Isotop | Relativní zastoupení | Isotop | Relativní zastoupení | Isotop | Relativní zastoupení |
|--------|------------------|----------------------|------------------|----------------------|------------------|----------------------|
| Uhlík | ¹² C | 100 | ¹³ C | 1,11 | | |
| Vodík | ¹ H | 100 | ² H | 0,016 | | |
| Dusík | ¹⁴ N | 100 | ¹⁵ N | 0,38 | | |
| Kyslík | ¹⁶ O | 100 | ¹⁷ O | 0,04 | ¹⁸ O | 0,2 |
| Fluor | ¹⁹ F | 100 | | | | |
| Křemík | ²⁸ Si | 100 | ²⁹ Si | 5,1 | ³⁰ Si | 3,35 |
| Fosfor | ²⁸ P | 100 | | | | |
| Síra | ³² S | 100 | ³³ S | 0,78 | ³⁴ S | 4,4 |
| Chlor | ³⁵ Cl | 100 | | | ³⁷ Cl | 32,5 |
| Brom | ⁷⁹ Br | 100 | | | ⁸¹ Br | 98 |
| Jod | ¹²⁷ I | 100 | | | | |

Procentuální zastoupení izotopů je vztaženo na množství majoritního izotopu prvku. Přítomnost těžšího izotopu v molekule se projeví v hmotnostním spektru jako tzv. izotopický pík o vyšší hmotnosti. Izotopy vodíku, dusíku a uhlíku přispívají ke vzniku M + 1 izotopického iontu molekuly nebo jejího fragmentu. Díky nejvyššímu obsahu jsou nejvýznamnějšími příspěvateli k M + 1 izotopy ¹³C (1,1 % množství ¹²C) a ¹⁵N (0,38 % množství ¹⁴N). Pro určení počtu atomů uhlíku a dusíku v molekule musíme první vyjádřit intenzitu prvního izotopického píku molekulového iontu M + 1 v procentech intenzity M. Poté platí:

$$\%(M+1) \approx (1,1 \cdot x) + (0,38 \cdot y),$$

kde x je počet atomů uhlíku a y je počet atomů dusíku. Pro odhad počtu atomů dusíku v molekule můžeme použít *dusíkové pravidlo*, podle kterého sloučenina obsahující lichý počet atomů dusíku má lichou hmotnost a sudou hmotnost má molekula obsahující sudý počet atomů dusíku. Pravidlo platí pro všechny sloučeniny obsahující pouze některé z těcto prvků: C, H, N, O, S, F, Cl, Br, I, P, B, Si a As.

Přítomnost Br, Cl, S a Si se projevuje přítomností intenzívních píků M + 2. Přítomnost jednoho atomu bromu v molekule dává vzniknout velice charakteristické dvojici iontů M a M + 2 o přibližně stejné intenzitě (viz bromethan). Přítomnost jednoho atomu chloru lze také snadno odhadnout z přítomnosti iontu M + 2 s přibližně třetinovou intenzitou oproti M (³⁷Cl tvoří 32,5 % množství ³⁵Cl).

Přítomnost většího počtu atomů Br a Cl vede ke složitější distribuci hmot iontů, poměr intenzit lze získat získat binomickým rozvojem, například pro prvek s dvěma

isotopy, které mají relativním zastoupením a a b , užijeme vztah $(a + b)^n$, kde n je počet atomů diisotopického prvku ve sloučenině. Pro sloučeninu obsahující dva atomy bromu v molekule (např. Br_2) získáme $a^2 + 2ab + b^2 = 10.000 + 19.600 + 9.604$, což po normalizaci poskytne pro poměr hmot $M:(M+1):(M+2)$ poměr intenzit 51:100:49.

Fuor, fosfor a jod jsou monoizotopické prvky, jejichž přítomnost je obtížné vystopovat metodou založenou na izotopických iontech.

Příklady: V hmotnostním spektru látky byl kromě iontu M^+ nalezen iont $M + 1$ s touto intenzitou:

| | |
|-----------------|--------|
| 150 (M^+) | 100 % |
| 151 ($M + 1$) | 10,2 % |

Sloučenina neobsahuje dusík nebo obsahuje sudý počet jeho atomů. Počet atomů uhlíku bude 9 (10,2/1,1), rozdíl hmotnosti devíti atomů uhlíku a hmotnosti molekulového iontu (42) nemůže být tvoren pouze atomy vodíku, rozdíl můžeme smysluplně doplnit atomy kyslíku a dusíku na $\text{C}_9\text{H}_{14}\text{N}_2$ a $\text{C}_9\text{H}_{10}\text{O}_2$. Analýza hmotnostního spektra ukáže, že se jedná o 1-(2-methoxyfenyl)ethanon ($\text{C}_9\text{H}_{10}\text{O}_2$).

V hmotnostním spektru jiné látky byl kromě iontu M^+ nalezen iont $M + 1$ s touto intenzitou:

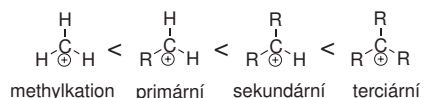
| | |
|-----------------|-------|
| 121 (M^+) | 100 % |
| 122 ($M + 1$) | 9,2 % |

Lichá hmotnost napovídá přítomnost lichého počtu atomů dusíku v molekule. Počet atomů uhlíku v molekule bude 8 ((9,2 – 0,38)/1,1). Rozdíl hmotnosti osmi atomů uhlíku a molekulového iontu (25) může být smysluplně doplněn pouze jedním atomem dusíku a 11 atomy vodíku ($\text{C}_8\text{H}_{11}\text{N}_1$). Analýza hmotnostního spektra ukáže, že látkou je N,N -dimethylanilin.

Základní pravidla fragmentačních reakcí

Ionizace molekul pomocí urychlených elektronů tudíž zanechává ionty přebytkem vnitřní energie, který ve spojení s nestabilitou samotných kation-radikálů může následně vést k fragmentaci ionizovaných molekul.

- Pravděpodobnost štěpení vazeb vycházejících z atomu uhlíku roste s počtem alkylových zbytků, které tento atom nese. Důvodem je stabilizace vzniklého karbokationtu alkylovými substituenty. Obecně platí, že se jako radikál ze substituovaného atomu uhlíku odštěpuje neobjemnější skupina. Stabilita karbokationtů roste v následujícím pořadí:



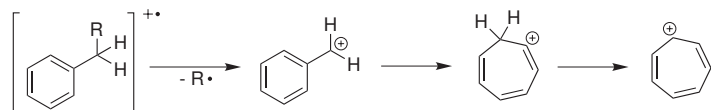
- Násobné vazby, cyklické struktury a zvláště aromatické (heteroaromatické) cykly stabilizují ion M^+ , vedou k omezení fragmentace a tím ke zvýšení intenzity M^+ .
- Přítomnost násobné vazby zvyšuje výrazně pravděpodobnost štěpení v allylické pozici, které poskytuje stabilizovaný kation. Je potřeba si však uvědomit, že u alkenů dochází po elektronové ionizaci ke snadné migraci násobných vazeb. Využít tohoto pravidla však lze ve strukturní analýze cykloalkenů.
- Cykloalkany a jejich deriváty nesoucí na atomech cyklu alkylové substituenty, mají tendenci odštěpovat tyto skupiny jako radikály, přičemž kladný náboj zůstává lokalizován na příslušném atomu cyklu.



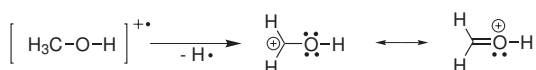
- Nenasycené šestičlenné cykly mají tendenci podléhat retro-Dielsově–Alderově reakci. Při fragmentaci výchozího iontu s lichým počtem elektronů zůstává kladný náboj přednostně a nebo výhradně na fragmentu, který má nižší ionizační energii.



- Alkylaromáty podléhají štěpení β vazeb za vzniku rezonancí stabilizovaných kationtů benzylového typu, které jsou v rovnováze s aromatickým tropyliovým kationtem.

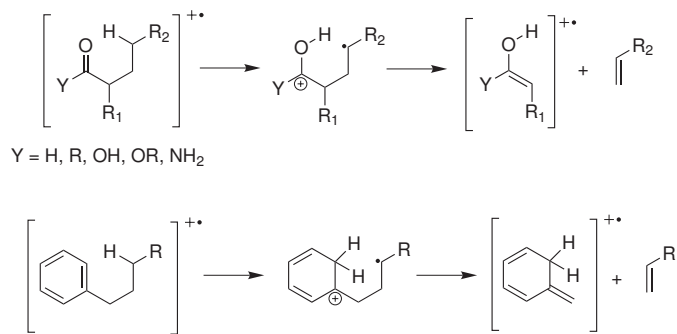


- Po elektronové ionizaci relativně snadno praskají vazby C–C a C–H vycházející z atomu uhlíku, který sousedí s heteroatomem nesoucím volné elektronové páry. Kladný náboj zůstává přednostně lokalizovan na fragmentu, který obsahuje heteroatom. Popsané štěpení je umožněno účinnou stabilizací vznikajícího karbokationtu konjugací s volnými elektronovými páry heteroatomu.



- Štěpení ionizované molekuly je často doprovázeno eliminací malých stabilních molekul, např. CO, H₂O, H₂S, NH₃, HCN, R–OH, R–SH, CH₂=C=O, alkeny.

9. Molekuly obsahující dvojnou vazbu a relativně snadno odštěpitelný atom vodíku v γ -pozici vůči této dvojně vazbě, podléhají *McLaffertyho přesmyku* spojeného s eliminací.



Interpretace hmotnostních spekter s elektronovou ionizací

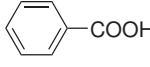
Při interpretaci hmotnostních spekter získaných s užitím elektronové ionizace mohou napomoci následující dvě tabulky. První tabulka obsahuje výčet pravděpodobného složení nenabitých fragmentů, které se uvolňují z ionizované molekuly a které mohou poukazovat na přítomnost určité funkční skupiny v molekule. Hmotnosti těchto nenabitých fragmentů vidíme jako rozdíl hmot v hmotnostním spektru, například v hmotnostním spektru methanolu jsou to rozdíly mezi m/z 32 (M^+) a 31, 29 a 15.

Složení často se vyskytujících nenabitých fragmentů molekul při EI

| m/z | Fragment | Možná funkční skupina |
|-------|---------------------------------|---|
| 1 | $H\cdot$ | |
| 2 | $2H\cdot$ | |
| 15 | $CH_3\cdot$ | |
| 16 | O | Ar-NO ₂ , aminoxidy, sulfoxidy |
| | $NH_2\cdot$ | Karboxamidy, sulfonamidy |
| 17 | $OH\cdot$ | |
| 18 | H_2O | Alkoholy, aldehydy a ketony |
| 19 | F \cdot | |
| 20 | HF | |
| 26 | $HC\equiv CH$ $N\equiv C\cdot$ | |
| 27 | $N\equiv CH$ $H_2C=\dot{C}H$ | Aromatické nitrily, dusíkaté heterocykly |

| <i>m/z</i> | Fragment | Možná funkční skupina |
|-------------------|---|---|
| 28 | $\text{H}_2\text{C}=\text{CH}_2$ CO (HCN + H \cdot) | |
| 29 | $\text{H}_3\text{C}-\dot{\text{C}}\text{H}_2$ | Ethyl ketony, Ar(CH ₂) ₂ CH ₃ |
| | $\cdot\text{CHO}$ | |
| 30 | CH ₂ O | Ar-O-CH ₃ |
| | NO | Ar-NO ₂ |
| | $\text{H}_2\text{N}-\dot{\text{C}}\text{H}_2$ CH ₃ CH ₃ | |
| 31 | H ₃ C-O \cdot | Methyl ester |
| | HO- $\dot{\text{C}}\text{H}_2$ H ₃ C-NH ₂ | |
| 32 | H ₃ C-OH S | |
| 33 | HS \cdot | Thioly |
| | (CH ₃ \cdot + H ₂ O) | |
| 34 | H ₂ S | Thioly |
| 35 | Cl \cdot | |
| 36 | HCl 2H ₂ O | |
| 40 | H ₃ C-C≡CH | |
| 41 | $\text{H}_2\dot{\text{C}}\diagup\diagdown$ | |
| 42 | H ₃ C $\diagup\diagdown$ H ₂ C=C=O | |
| | △ NCO N≡C-NH ₂ | |
| 43 | $\cdot\text{C}_3\text{H}_7$ | Propylketony, ArCH ₂ -C ₃ H ₇ |
| | $\begin{array}{c} \text{O} \\ \diagdown \\ \text{CH}_3 \end{array}$ | Methylketony, CH ₃ (C=O)-G |
| | $\begin{array}{c} \text{H} \\ \diagup \\ \text{H}_2\text{C}=\text{C} \\ \diagdown \\ \text{O} \cdot \end{array}$ HNCO $\cdot\text{CH}_3 + \text{CH}_2=\text{CH}_2$ | |
| 44 | CO ₂ | Estery, anhydridy karboxylových kyselin |
| | $\begin{array}{c} \text{H}_2\text{C}=\text{C} \\ \diagup \quad \diagdown \\ \text{OH} \quad \text{N}_2\text{O} \end{array}$ | |
| | $\begin{array}{c} \text{O} \\ \diagdown \\ \text{NH}_2 \end{array}$ H $\dot{\text{N}}-\text{CH}_2\cdot\text{CH}_3$ | |

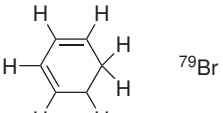
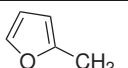
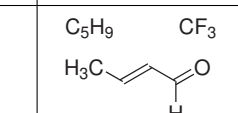
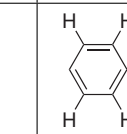
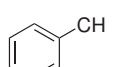
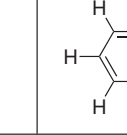
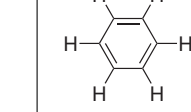
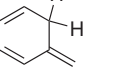
| m/z | Fragment | Možná funkční skupina |
|------------|---|------------------------------|
| 45 | $\cdot\text{O}-\text{CH}_2\text{CH}_3$ | Ethyl ester |
| | $\begin{array}{c} \cdot\text{OH} \\ \\ \text{H}_3\text{C}-\text{COOH} \\ \\ \text{CH}_3\text{CH}_2\text{NH}_2 \end{array}$ | |
| 46 | $\cdot\text{NO}_2$ | $\text{Ar}-\text{NO}_2$ |
| | $\text{H}_2\text{O} + \text{H}_2\text{C}=\text{CH}_2$ $\text{CH}_3\text{CH}_2\text{OH}$ | |
| 47 | $\text{CH}_3\text{S}\cdot$ | |
| 48 | SO | Sulfoxidy |
| | $\text{CH}_3\text{SH} \quad \text{O}_3$ | |
| 49 | $\cdot\text{CH}_2\text{Cl}$ | |
| 51 | $\cdot\text{CHF}_2$ | |
| 52 | $\text{C}_4\text{H}_4 \quad \text{C}_2\text{N}_2$ | |
| 53 | C_4H_5 | |
| 54 | $\begin{array}{c} \text{H}_2\text{C} \diagup \text{CH}_2 \\ \diagdown \end{array}$ | |
| 55 | $\begin{array}{c} \text{H}_2\text{C} \diagup \text{CH}_3 \\ \diagdown \cdot \end{array}$ | |
| 56 | $\begin{array}{c} \text{H}_2\text{C} \diagup \text{CH}_3 \quad 2 \text{ CO} \\ \diagdown \text{H}_3\text{C} \diagup \text{CH}_3 \end{array}$ | |
| 57 | $\cdot\text{C}_4\text{H}_7$ | Butylketony |
| | $\begin{array}{c} \text{C}_2\text{H}_5-\text{C}(=\text{O})\cdot \\ \\ \text{C}_2\text{H}_5 \end{array}$ | Ethylketony |
| 58 | $\begin{array}{c} \cdot\text{NCS} \quad \text{NO} + \text{CO} \\ \text{C}_4\text{H}_{10} \quad \text{CH}_3(\text{CO})\text{CH}_3 \end{array}$ | |
| 59 | $\begin{array}{c} \text{H}_3\text{C}-\text{O}-\text{C}(=\text{O})\cdot \\ \\ \text{H} \end{array}$ | |
| 60 | $\begin{array}{c} \text{OH} \\ \\ \text{H}_2\text{C}=\text{CH}-\text{OH} \\ \\ \text{OH} \end{array}$ | Estery kyseliny octové |
| | $\text{C}_3\text{H}_7\text{OH}$ | |
| 61 | $\begin{array}{c} \text{H} \\ \\ \cdot\text{S} \\ \\ \text{C}_2\text{H}_5 \end{array}$ $\text{CH}_3\text{CH}_2\text{S}\cdot$ | |

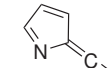
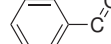
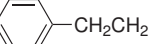
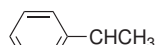
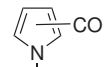
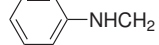
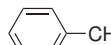
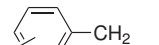
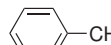
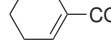
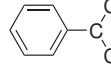
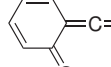
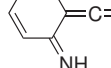
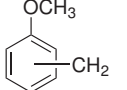
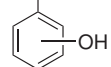
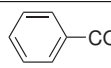
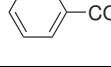
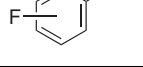
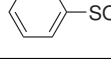
| <i>m/z</i> | Fragment | Možná funkční skupina |
|-------------------|--|------------------------------|
| 62 | H ₂ S + CH ₂ CH ₂ | |
| 63 | •CH ₂ CH ₂ Cl | |
| 64 | C ₅ H ₄ S ₂ SO ₂ | |
| 69 | •CF ₃ •C ₅ H ₉ | |
| 77 | •C ₆ H ₅ | |
| 79 | •Br | |
| 80 | HBr | |
| 85 | •CClF ₂ | |
| 100 | F ₂ C=CF ₂ | |
| 119 | F ₃ C-•CF ₂ | |
| 122 |  | |
| 127 | •I | |
| 128 | HI | |

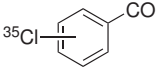
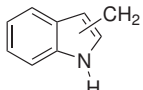
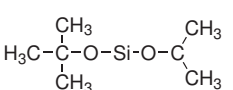
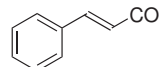
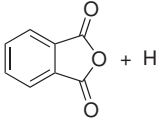
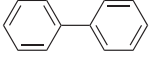
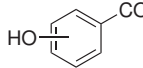
Následující tabulka může pomoci v odhadu složení a struktury iontů, které pozorujeme v hmotnostním spektru s elektronovou ionizací.

Možné složení iontů molekul v MS s EI

| <i>m/z</i> | Složení iontu | <i>m/z</i> | Složení iontu |
|-------------------|--------------------------------------|-------------------|--|
| 14 | CH ₂ | 41 | C ₃ H ₅ C ₂ H ₂ NH |
| 15 | CH ₃ | 42 | C ₃ H ₆ C ₂ H ₂ O |
| 16 | O | 43 | C ₃ H ₇ CH ₃ CO C ₂ H ₅ N |
| 17 | OH | 44 | CH ₂ CHO + H CO ₂ (vzduch) CH ₃ CHNH ₂ (CO)NH ₂ (NH ₃) ₃ N |
| 18 | H ₂ O NH ₄ | 45 | CH ₃ CH(OH) CH ₂ CH ₂ OH CH ₂ OCH ₃ (CO)OH |
| 19 | F H ₃ O | 46 | NO ₂ |
| 26 | C≡N C ₂ H ₂ | 47 | CH ₃ S CH ₂ SH |
| 27 | C ₂ H ₃ | 49 | ³⁵ Cl—CH ₂ |
| 28 | C ₂ H ₄ CHO | 51 | C ₄ H ₃ CH ₂ F |
| 30 | CH ₂ NH ₂ NO | 53 | C ₄ H ₅ |
| 31 | CH ₂ OH CH ₃ O | 54 | CH ₂ CH ₂ CN |
| 32 | O ₂ (vzduch) | 55 | C ₄ H ₇ H ₂ C=CH-C(=O)H |
| 33 | SH CH ₂ F | 56 | C ₄ H ₈ |
| 34 | H ₂ S | 57 | C ₄ H ₉ C ₂ H ₅ CO |
| 35 | ³⁵ Cl | 58 | CH ₃ (CO)CH ₃ C ₂ H ₅ CHNH ₂ C ₂ H ₅ S (CH ₃) ₂ NCH ₂ C ₂ H ₅ NHCH ₂ |
| 36 | H ³⁵ Cl | 59 | (CH ₃) ₂ COH C ₂ H ₅ OCH ₂ COOCH ₃ CH ₃ OCHCH ₃ CH ₃ CH ₂ CHOH C ₂ H ₅ CHOH H ₂ N—C(=O)CH ₂ + H |
| 39 | C ₃ H ₃ | 60 | CH ₂ COOH + H CH ₂ ONO |
| 40 | CH ₂ CN Ar (vzduch) | 61 | CH ₂ CH ₂ SH CH ₂ SCH ₃ CH ₃ COOH + H |

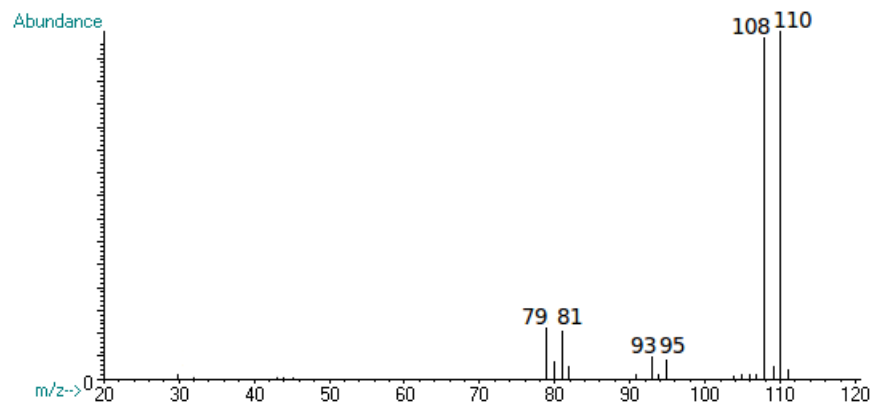
| <i>m/z</i> | Složení iontu | <i>m/z</i> | Složení iontu |
|------------|---|------------|--|
| 65 | C ₅ H ₅ | 79 |  ⁷⁹ Br |
| 67 | C ₅ H ₇ | 80 | H ⁷⁹ Br |
| 68 | CH ₂ CH ₂ CH ₂ CN | 81 | C ₆ H ₉  |
| 69 | C ₅ H ₉ CF ₃  | 82 | (CH ₂) ₄ CN C ₆ H ₁₀ C ³⁵ Cl ₂ |
| 70 | C ₅ H ₁₀ | 83 |  C ₆ H ₁₁ CH ³⁵ Cl ₂ |
| 71 | C ₅ H ₁₁ C ₃ H ₇ CO | 85 |   C ₆ H ₁₃ C ₄ H ₉ CO |
| 72 | C ₂ H ₅ (CO)CH ₂ + H C ₃ H ₇ CHNH ₂ (CH ₃) ₂ NCO C ₂ H ₅ NHCHCH ₃ (a isomery) | 86 | C ₃ H ₇ (CO)CH ₂ + H C ₄ H ₉ CHNH ₂ (a isomery) |
| 73 | (CH ₃) ₃ Si CH ₂ homology 59 | 87 | C ₃ H ₇ COO CH ₂ homology 73 CH ₂ CH ₂ COOCH ₃ |
| 74 | CH ₂ COOCH ₃ + H | 88 | CH ₂ COOC ₂ H ₅ + H |
| 75 | CH ₂ SC ₂ H ₅ (CH ₃) ₂ CSH COOCH ₂ CH ₃ + 2H (CH ₃ O) ₂ CH (CH ₃) ₂ SiOH C ₂ H ₅ COO + 2H | 89 |  COOC ₃ H ₇ + 2H |
| 76 |  | 90 | CH ₃ CHONO ₂  |
| 77 |  | 91 |  (CH ₂) ₄ ³⁵ Cl C ₆ H ₅ N |
| 78 |  | 92 |   |

| <i>m/z</i> | Složení iontu | <i>m/z</i> | Složení iontu |
|------------|--|------------|--|
| 93 |   $\text{CH}_2^{79}\text{Br}$ C_7H_9 | 105 |    |
| 94 |  + H  | 106 |  |
| 95 |  | 107 |  HO  $^{79}\text{BrC}_2\text{H}_4$ |
| 96 | $(\text{CH}_2)_5\text{CN}$ | 108 |  + H  |
| 97 | C_7H_{13}  | 109 |  |
| 98 |  + H | 111 |  |
| 99 | C_7H_{15} $\text{C}_6\text{H}_{11}\text{O}$  | 119 |  $\text{H}_3\text{C}-\text{C}_6\text{H}_4-\text{CO}$ CF_3CF_2 $\text{H}_3\text{C}-\text{C}_6\text{H}_4-\text{CHCH}_3$ |
| 100 | $\text{C}_4\text{H}_9(\text{CO})\text{CH}_2 + \text{H}$ $\text{C}_5\text{H}_{11}\text{CHNH}_2$ | 120 |  |
| 101 | COOC_4H_9 | 121 |    C_9H_{13} |
| 102 | $\text{CH}_2\text{COOC}_3\text{H}_7 + \text{H}$ | 122 |  + H |
| 103 | $\text{COOC}_4\text{H}_9 + 2\text{H}$ $\text{C}_5\text{H}_{11}\text{S}$ $\text{CH}(\text{OCH}_2\text{CH}_3)_2$ | 123 |  + 2H  |
| 104 | $\text{C}_2\text{H}_5\text{CHONO}_2$ | 125 |  |

| <i>m/z</i> | Složení iontu | <i>m/z</i> | Složení iontu |
|------------|---|------------|--|
| 127 | I | 139 |  |
| 128 | H I | 141 | H ₂ C—I |
| 130 |  | 147 |  |
| 131 | C ₃ F ₅  | 149 |  |
| 135 | ⁷⁹ BrCH ₂ CH ₂ CH ₂ CH ₂ | 150 |  |
| 138 |  | | |

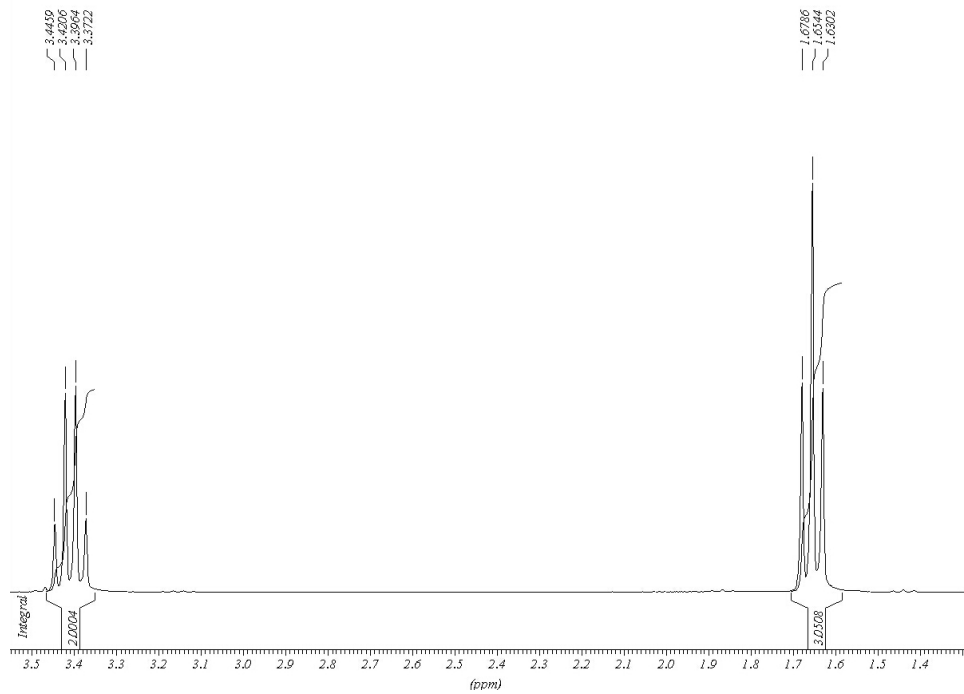
Bromethan

MS

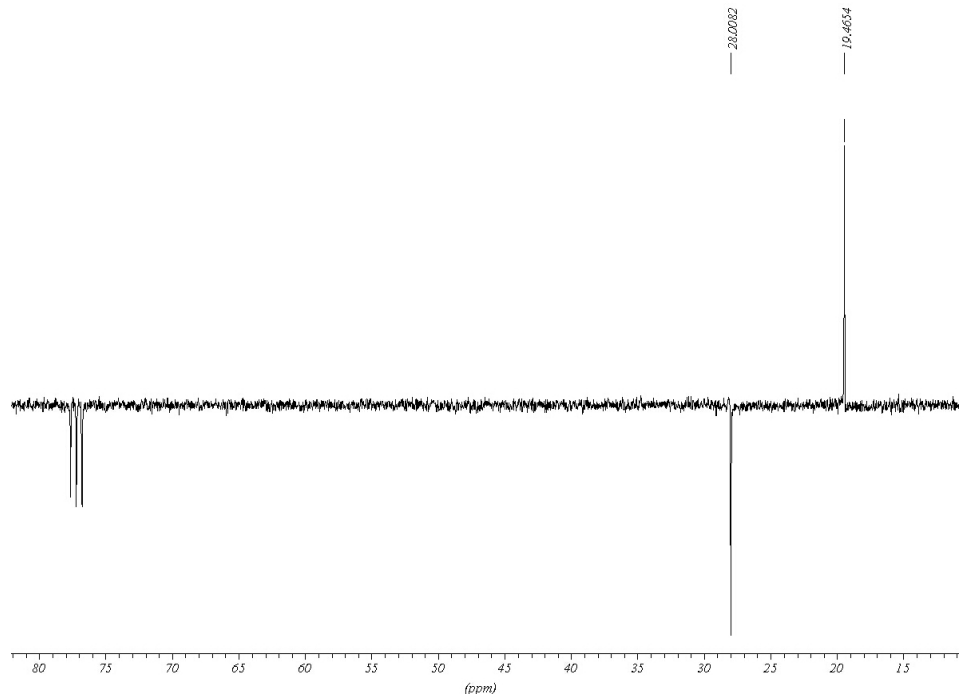


| <i>m/z</i> | 108 | 109 | 110 | 111 |
|-------------------------|-----|-----|-----|-----|
| Relativní intenzita [%] | 100 | 4 | 102 | 3 |

¹H NMR, CDCl₃

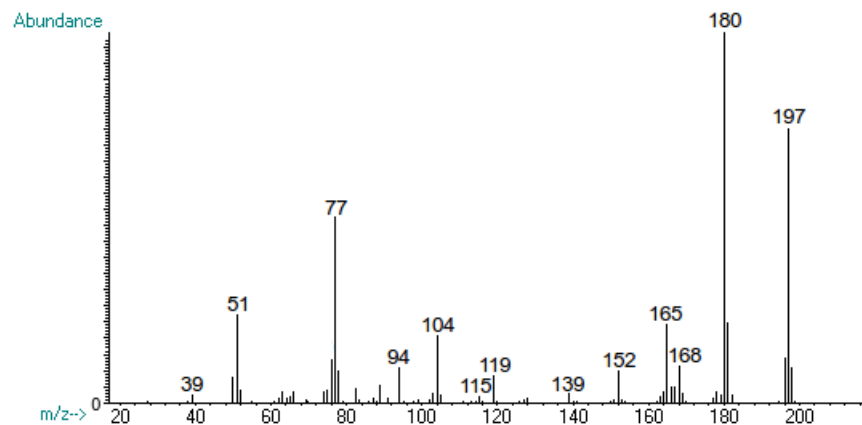


^{13}C NMR (APT), CDCl_3



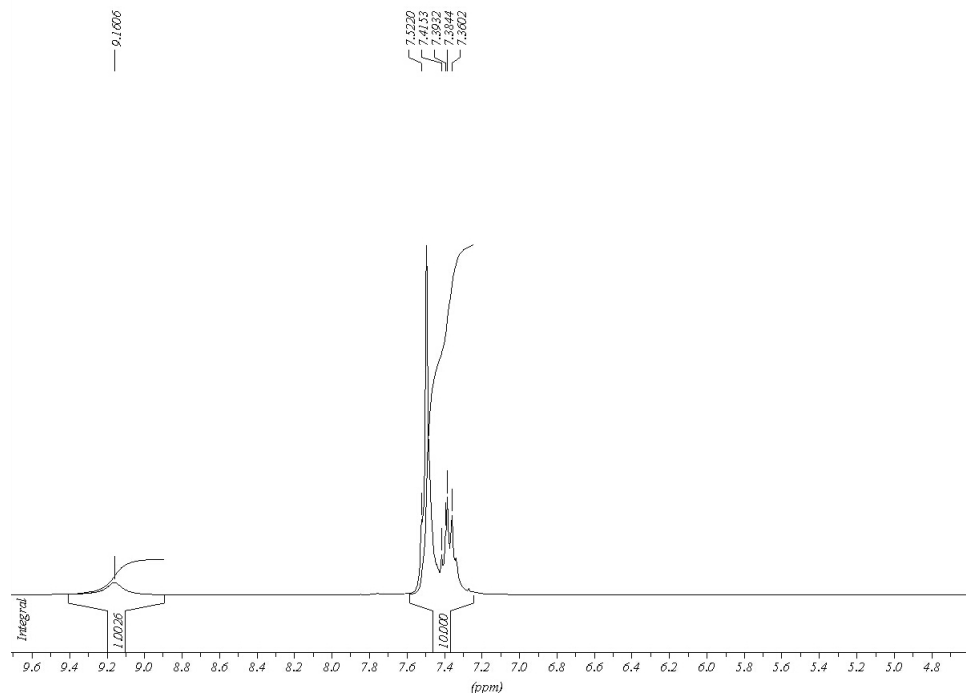
Benzofenon-oxim

MS

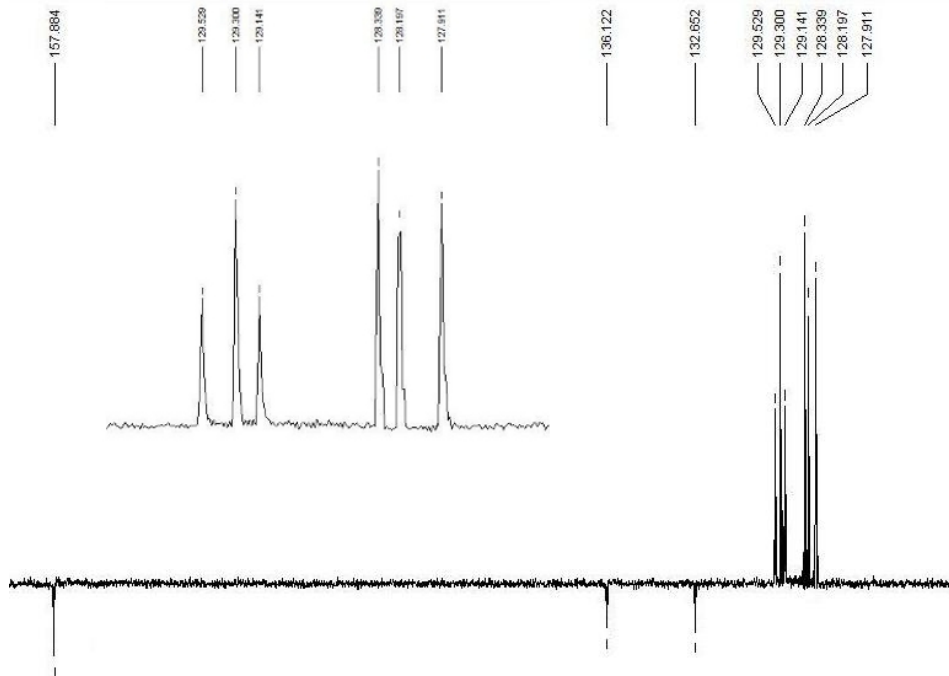


| m/z | 197 | 198 | 199 |
|-------------------------|-----|------|-----|
| Relativní intenzita [%] | 100 | 13,4 | 1,2 |

^1H NMR, CDCl_3

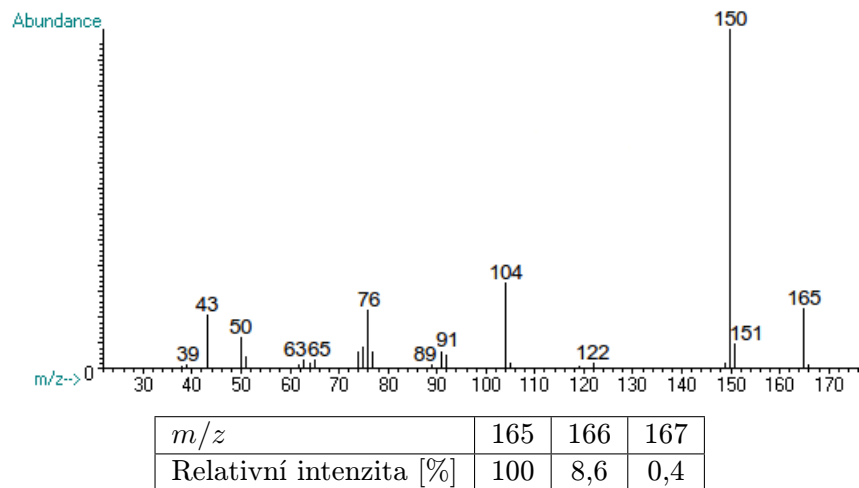


¹³C NMR (APT), CDCl₃

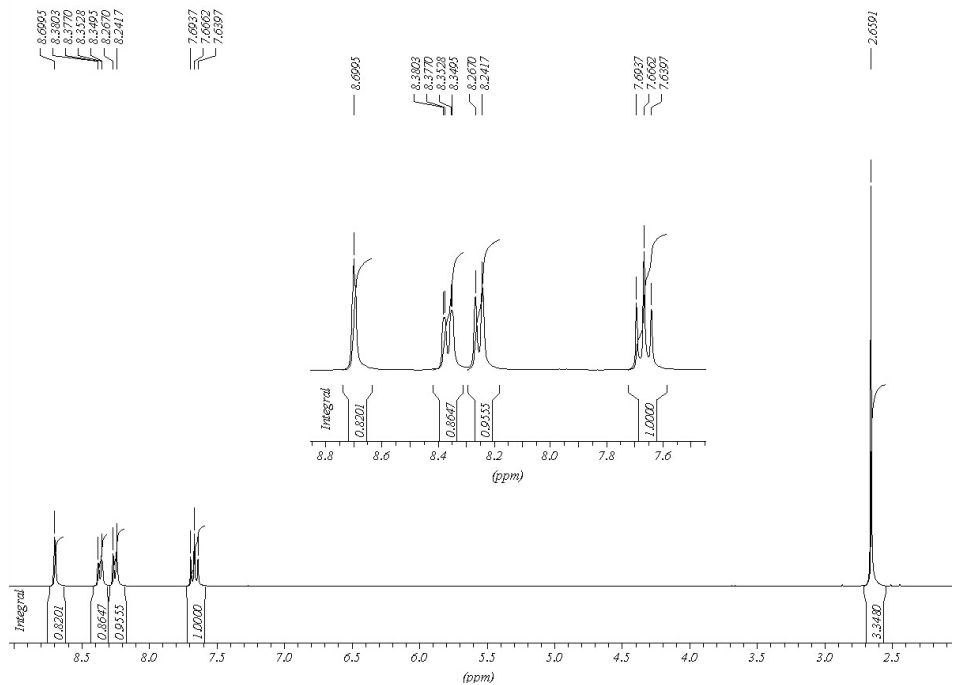


3-Nitroacetofenon

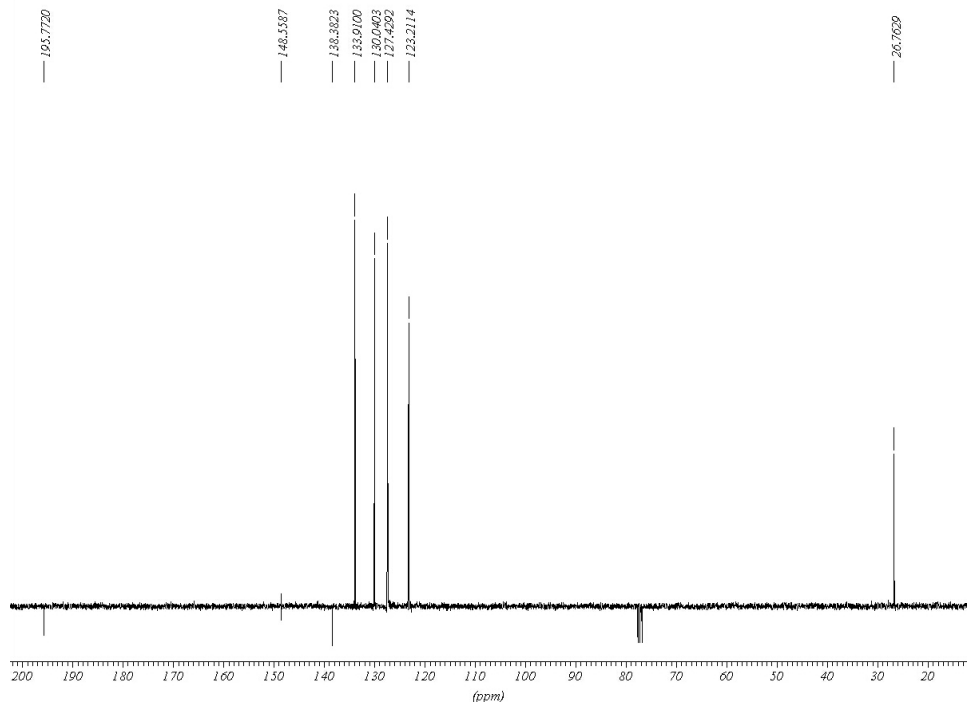
MS



¹H NMR, CDCl₃

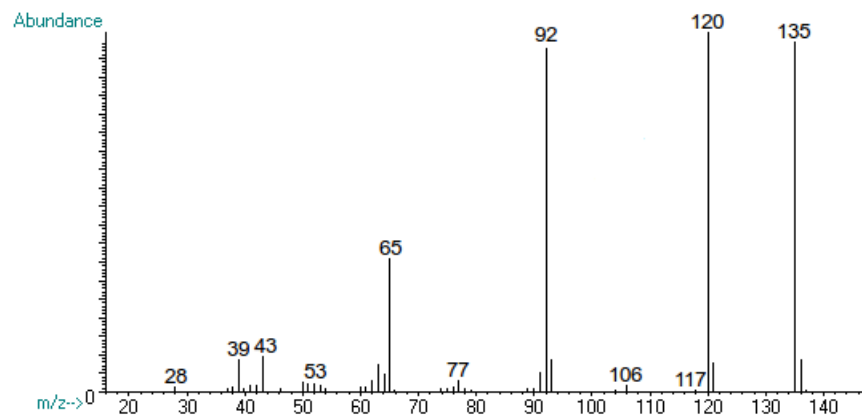


¹³C NMR (APT), CDCl₃



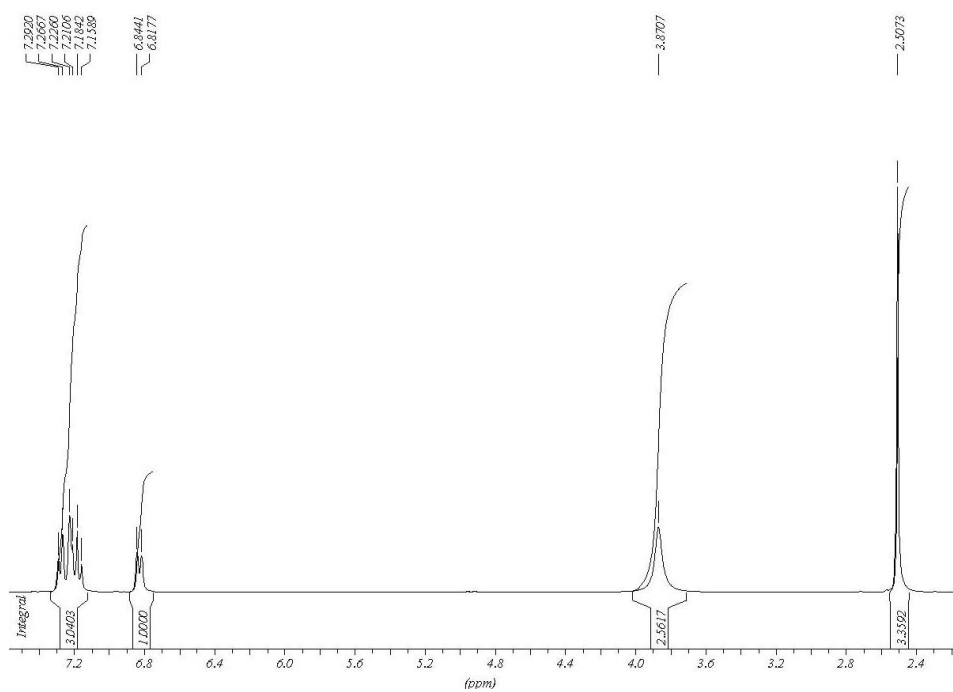
3-Aminoacetofenon

MS

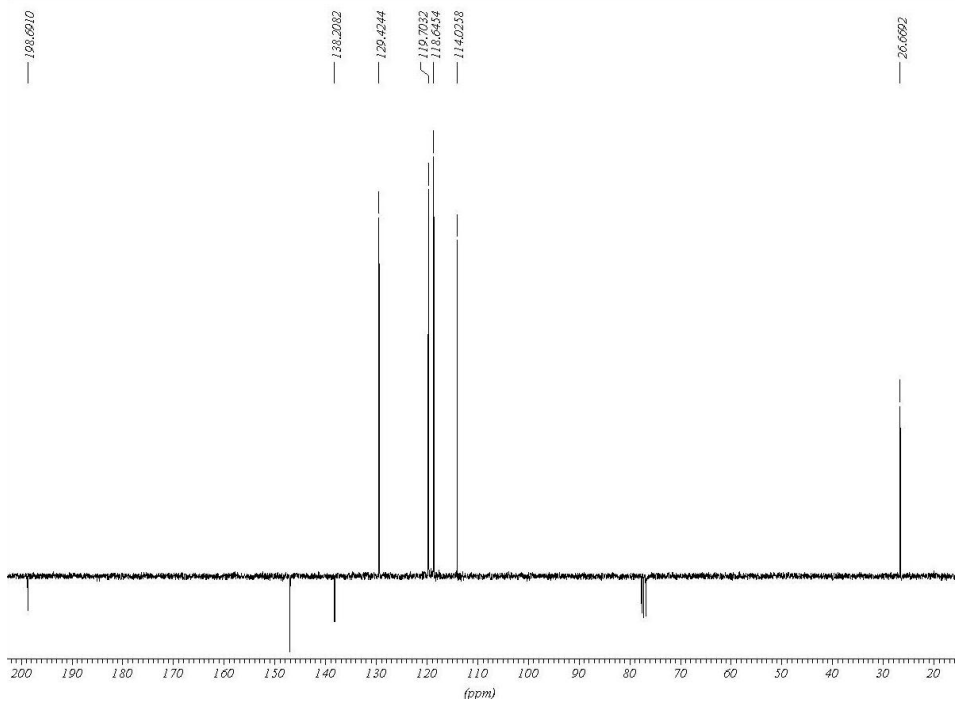


| m/z | 135 | 136 | 137 |
|-------------------------|-----|------|-----|
| Relativní intenzita [%] | 100 | 19,4 | 0,7 |

^1H NMR, CDCl_3

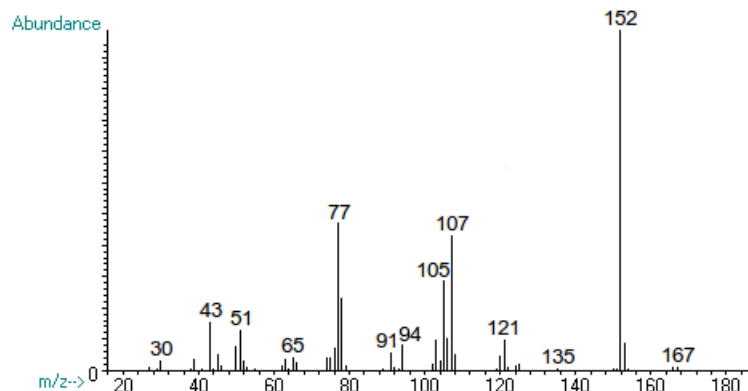


¹³C NMR (APT), CDCl₃



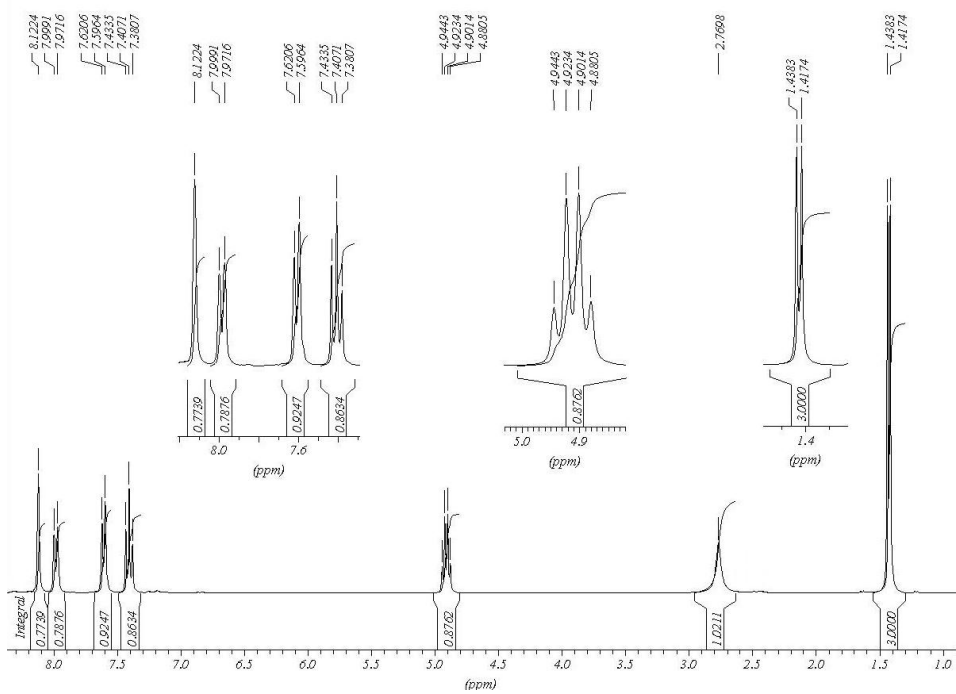
1-(3-Nitrofenyl)ethanol

MS

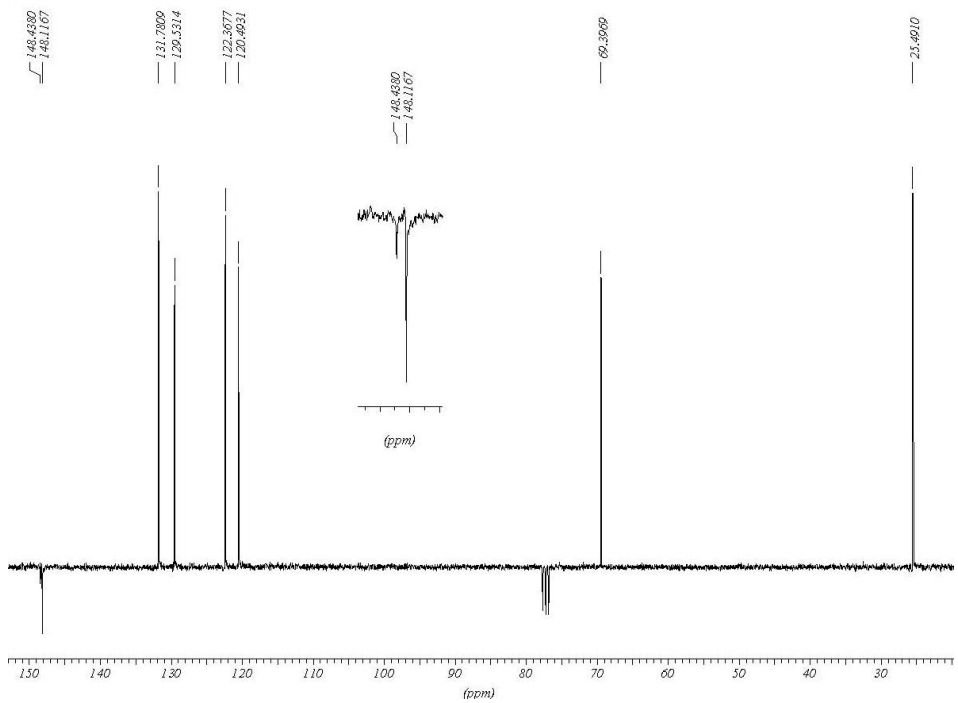


| <i>m/z</i> | 167 | 168 |
|-------------------------|-----|-----|
| Relativní intenzita [%] | 100 | 3,5 |

¹H NMR, CDCl₃

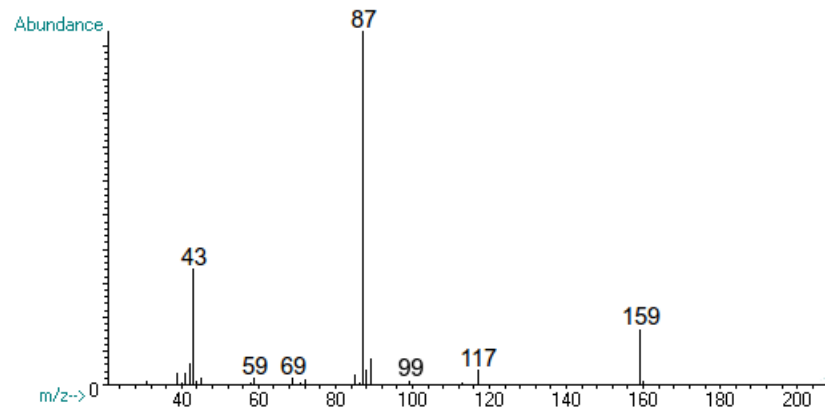


¹³C NMR (APT), CDCl₃

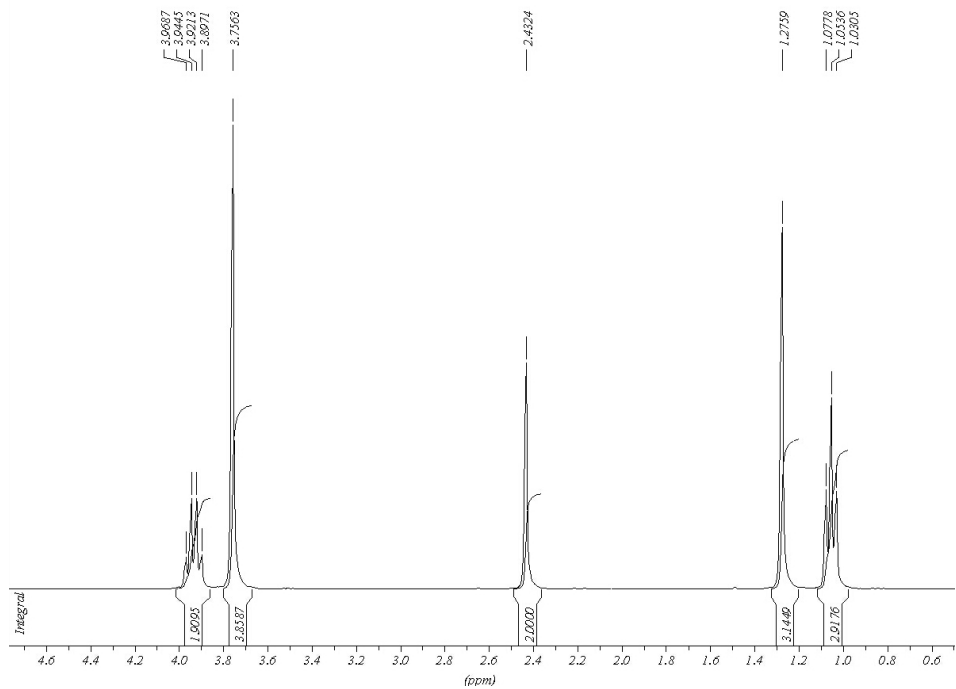


Ethylenacetal ethyl-3-oxobutanoátu

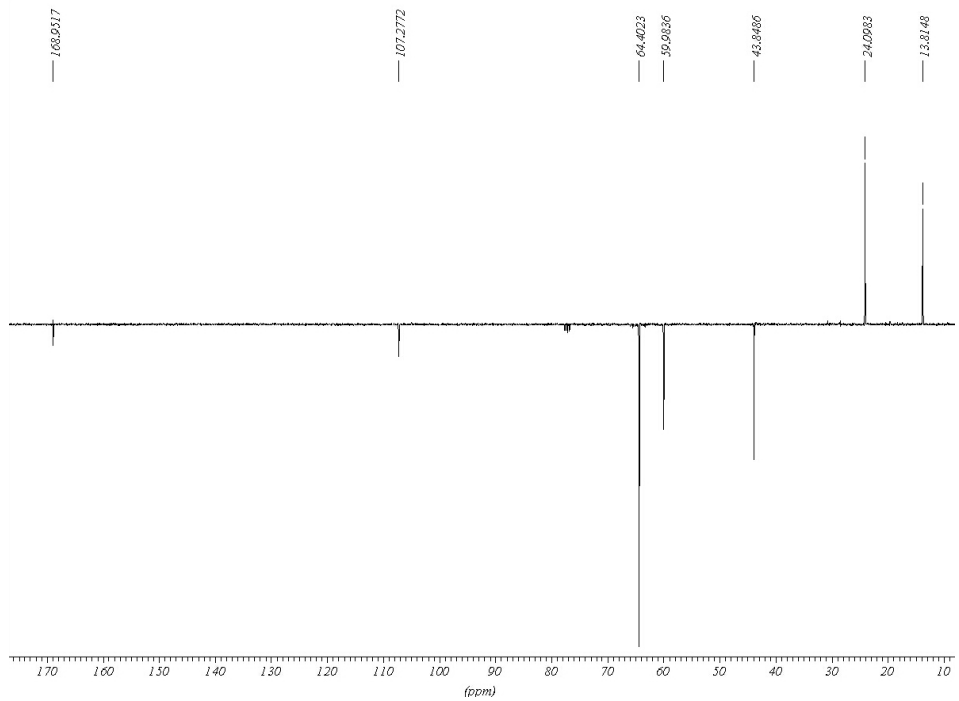
MS



^1H NMR, CDCl_3

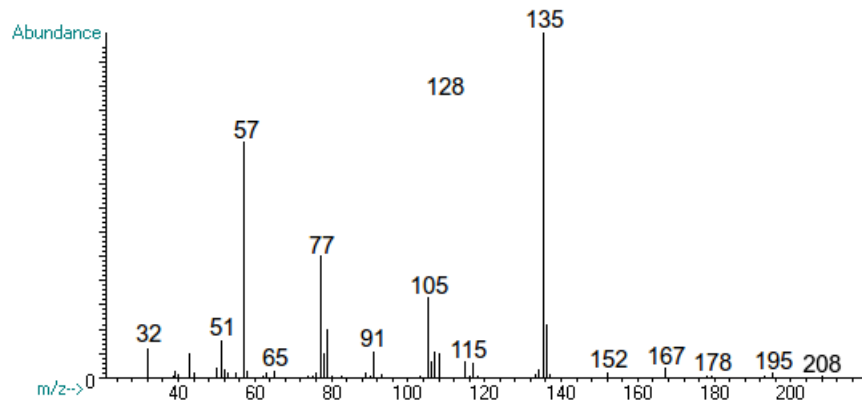


¹³C NMR (APT), CDCl₃

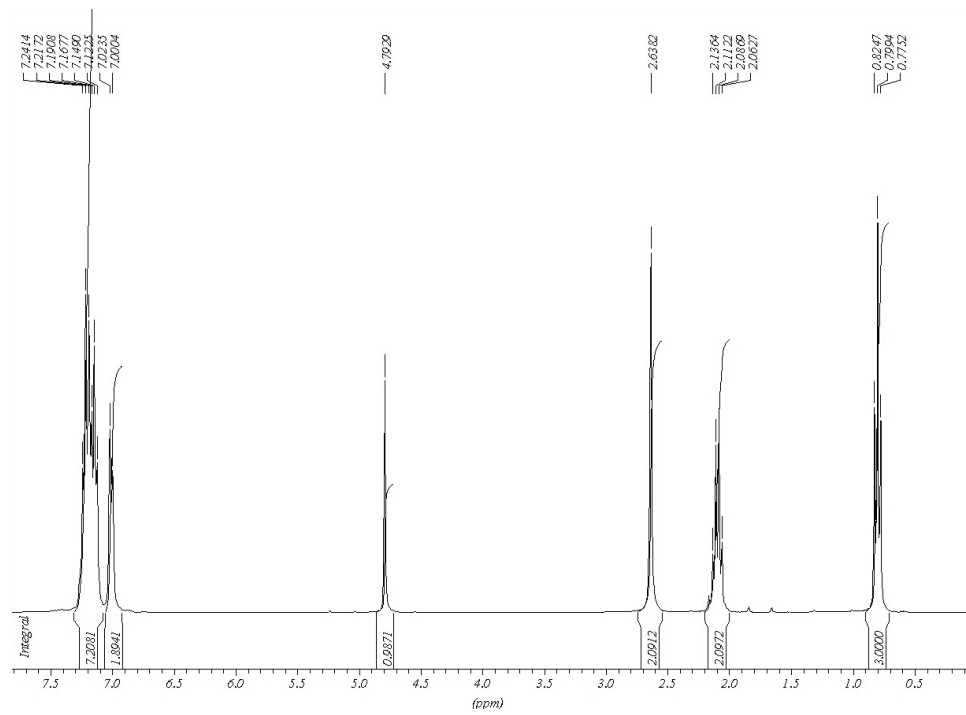


1,2-Difenylbutan-1,2-diol

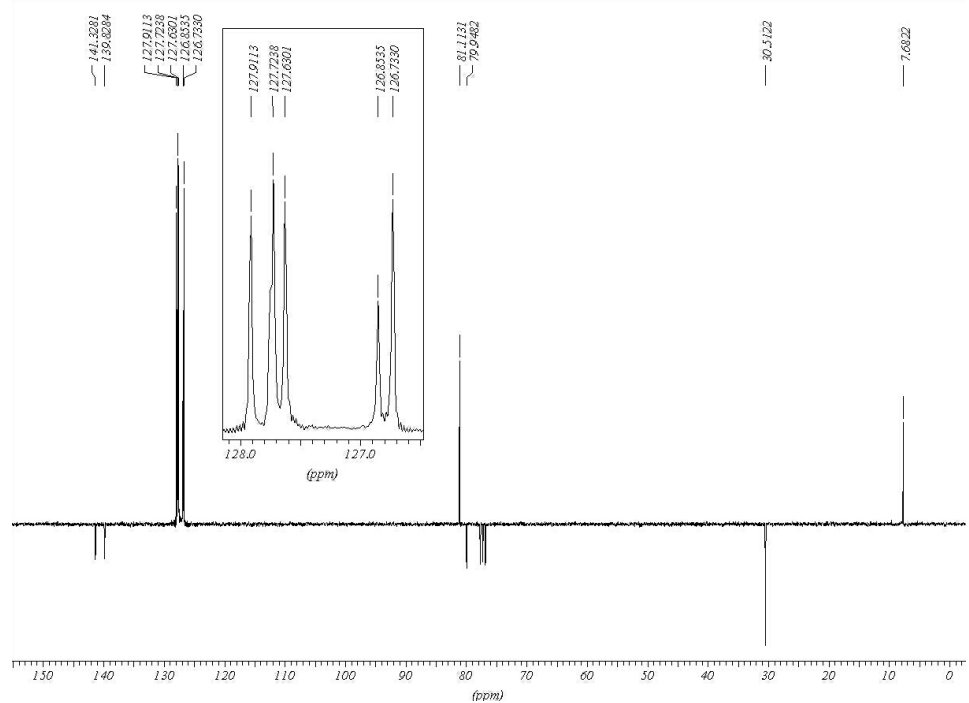
MS



¹H NMR, CDCl₃

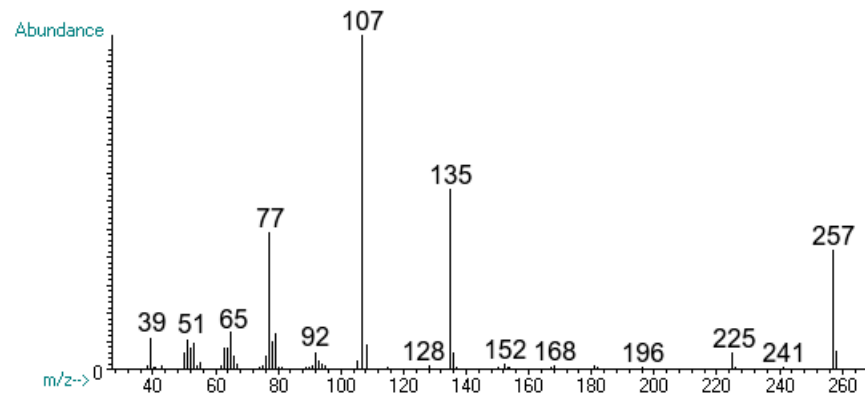


¹³C NMR (APT), CDCl₃



4-Methyl-2-(2-nitrophenylazo)fenol

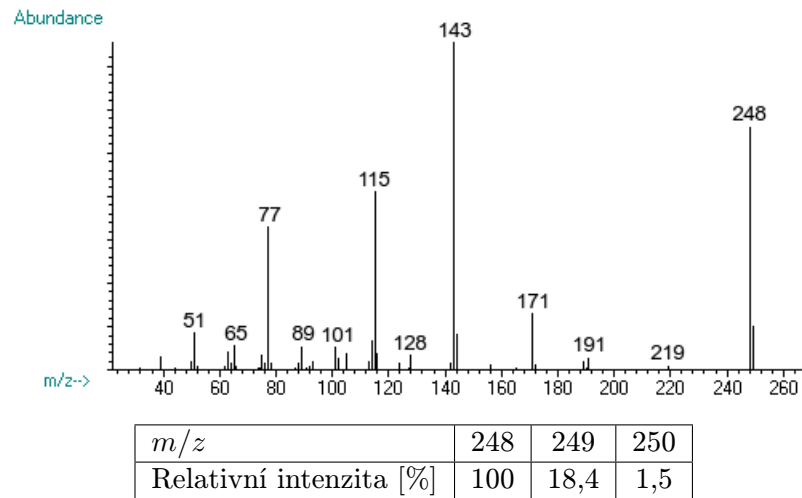
MS



| m/z | 257 | 258 | 259 |
|-------------------------|-----|------|-----|
| Relativní intenzita [%] | 100 | 15,4 | 0,8 |

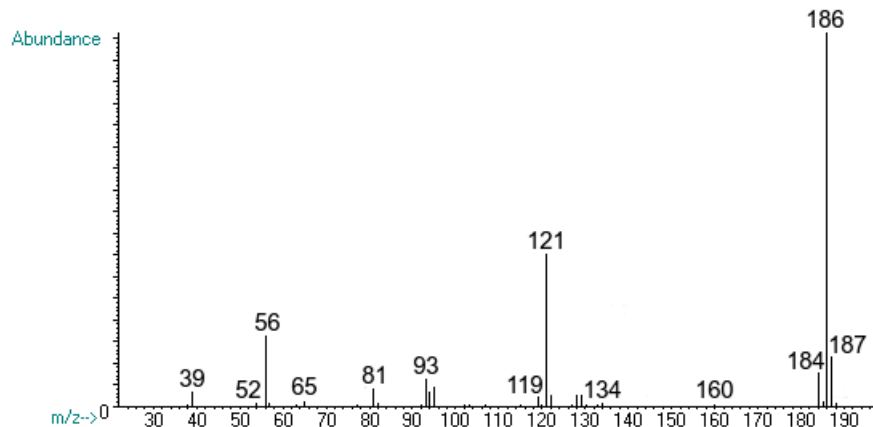
4-Fenylazo-1-naftol

MS



Ferrocen

MS



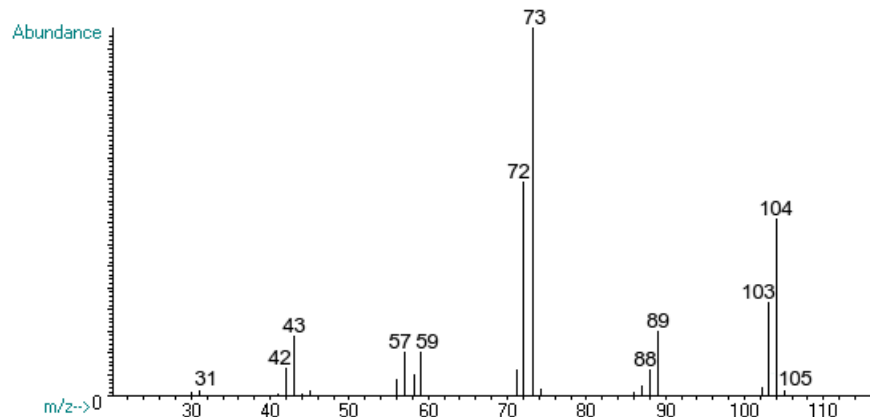
| m/z | 184 | 185 | 186 | 187 | 188 |
|-------------------------|-----|-----|-----|------|-----|
| Relativní intenzita [%] | 9,0 | 2,1 | 100 | 13,4 | 1,4 |

Isotopy železa a jejich zastoupení v přírodě

| Isotop | Hmotnost [amu] | Zastoupení [%] |
|------------------|----------------|----------------|
| ^{54}Fe | 53,939612 | 5,845 |
| ^{56}Fe | 55,934939 | 91,754 |
| ^{57}Fe | 56,935396 | 2,1191 |
| ^{58}Fe | 57,933277 | 0,2819 |

Trimethyl-boritan

MS



| m/z | 103 | 104 | 105 |
|-------------------------|------|-----|-----|
| Relativní intenzita [%] | 27,0 | 100 | 3,8 |

Isotopy boru a jejich zastoupení v přírodě

| Isotop | Hmotnost [amu] | Zastoupení [%] |
|-----------------|----------------|----------------|
| ^{10}B | 10,012937 | 19,82 |
| ^{11}B | 11,009305 | 91,754 |